

Elementele neliniare pot avea “memorie”.

Pentru $u(t) = A \sin \omega t$, $\int_0^t u(t) dt = \omega^{-1} A(1 - \cos \omega t)$,

rezultă: $A \sin \omega t = u(t)$, $A \cos \omega t = -\omega \int_0^t u(t) dt + A$.

Cu $N_R(A) = \text{Re } N(A) = \frac{A_1}{A}$, $N_I(A) = \text{Im } N(A) = \frac{B_1}{A}$

se scrie: $v(t) \cong v_1(t) = A_1 \sin \omega t + B_1 \cos \omega t = N_R A \sin \omega t + N_I A \cos \omega t$
 $u(t) - \omega \int_0^t u(t) dt + A$.

Rezultă: $v(t) \cong N_R(A)u(t) - \omega N_I(A) \int_0^t u(t) dt + AN_I(A)$.

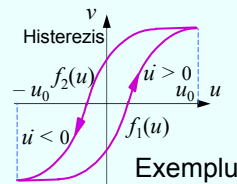
Elementul neliniar are “memorie”.

Există numai dacă $N_I(A) \neq 0$ – cazul neliniar. multivalente.

Teorema 1

Fie neliniaritatea bivalentă:

$$f(u) = \begin{cases} f_1(u), & \dot{u} > 0, \\ f_2(u), & \dot{u} < 0, \end{cases} \quad f_1(u) \equiv f_2(u), \quad |u| \geq u_0.$$



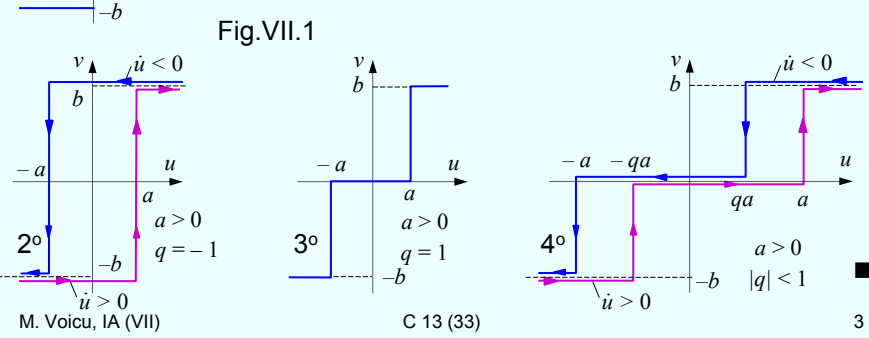
Atunci $N_I(A) = -\frac{S}{\pi A^2}$, $A \geq u_0$, S – aria dintre $f_1(u)$ și $f_2(u)$.

D. Cu (1.5), (1.10) și (1.12) se calculează $N_I(A)$ astfel:

$$\begin{aligned} N_I(A) &= \frac{1}{\pi A} \int_0^{2\pi} f(A \sin \omega t) \cos \omega t d(\omega t) = \frac{1}{\pi A^2} \left[\int_0^{\pi/2} f(A \sin \omega t) A \cos \omega t d(\omega t) + \right. \\ &\quad \left. + \int_{\pi/2}^{3\pi/2} f(A \sin \omega t) A \cos \omega t d(\omega t) + \int_{3\pi/2}^{2\pi} f(A \sin \omega t) A \cos \omega t d(\omega t) \right] = \\ &= \frac{1}{\pi A^2} \left[\int_0^A f_1(u) du + \int_A^{-A} f_2(u) du + \int_{-A}^0 f_1(u) du \right] = \frac{-1}{\pi A^2} \int_{-A}^A [f_2(u) - f_1(u)] du = -\frac{S}{\pi A^2}. \blacksquare \end{aligned}$$

Exemplul 1.1 Neliniaritatea de tip releu (fig.VII.1):

- 1° bipozițional (ideal): $q=1, a=0, b>0$;
- 2° bipozițional cu histerezis: $q=-1, a>0, b>0$;
- 3° tripozițional (ideal): $q=1, a>0, b>0$;
- 4° releu tripozițional cu histerezis: $|q|<1, a>0$.



Exemple de utilizare a reguletoarelor de tip releu

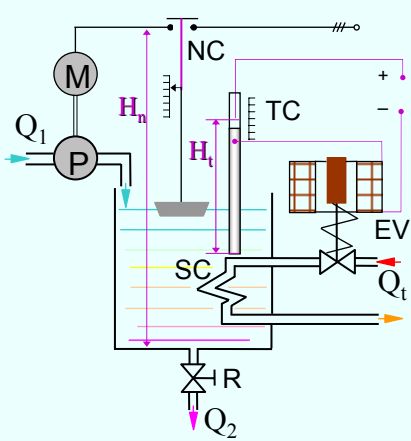
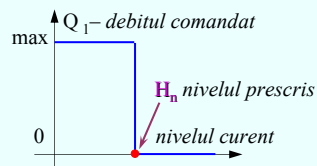


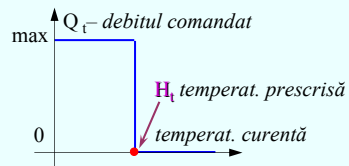
Fig. I.3. Ex. 2.2

M. Voicu, IA (VII)

Regulator de nivel:
nivelmetrul cu contact (NC)



Regulator de temperatură:
termometrul cu contact (TC)



C 13 (33)

4

Exemplu – fig. VII.1

Să se calculeze
funcția de descriere $N(A)$
și funcția de descriere
invers negativă $N_i(A)$.

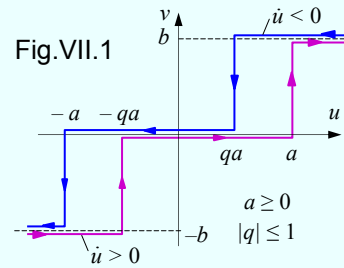


Fig.VII.1

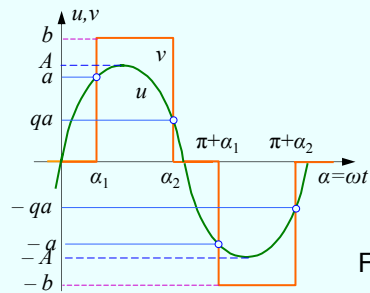


Fig.VII.5

M. Voicu, IA (VII)

C 13 (33)

Evoluții temporale:

$$u(t) = A \sin \omega t,$$

$$\alpha = \omega t,$$

$$\sin \alpha_1 = \frac{a}{A},$$

$$\sin \alpha_2 = \frac{qa}{A}.$$

5

Cf. (1.12) și fig.VII.5 (cazul 4°) se poate scrie:

$$N_R(A) = \frac{A_1}{A} = \frac{2}{\pi A} \int_0^\pi v(t) \sin \omega t d(\omega t) =$$

$$= \frac{2b}{\pi A} \int_{\alpha_1}^{\alpha_2} \sin \alpha d\alpha = \frac{2b}{\pi A} (\cos \alpha_1 - \cos \alpha_2)$$

$$\sin \alpha_1 = \frac{a}{A}, \quad \cos \alpha_1 = \sqrt{1 - \frac{a^2}{A^2}},$$

$$\sin \alpha_2 = \frac{qa}{A}, \quad \cos \alpha_2 = -\sqrt{1 - \frac{q^2 a^2}{A^2}}.$$

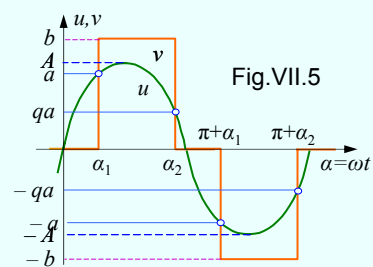


Fig.VII.5

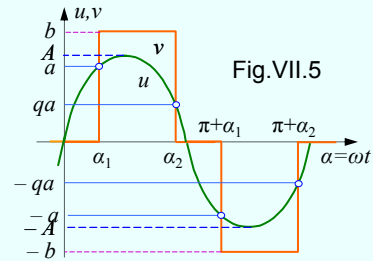
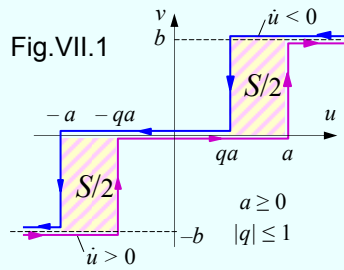
Partea reală a funcției de descriere este:

$$N_R(A) = \frac{2b}{\pi A} \left(\sqrt{1 - \frac{a^2}{A^2}} + \sqrt{1 - \frac{q^2 a^2}{A^2}} \right), \quad A \geq a.$$

M. Voicu, IA (VII)

C 13 (33)

6



$$\frac{S}{2} = (a - qa)b = ab(1 - q).$$

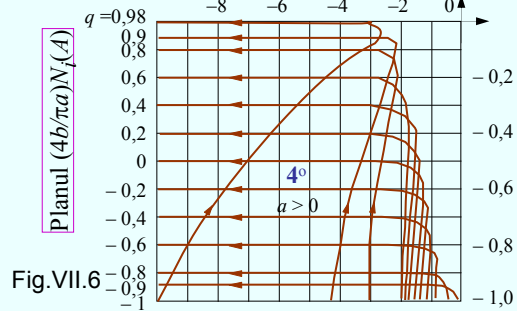
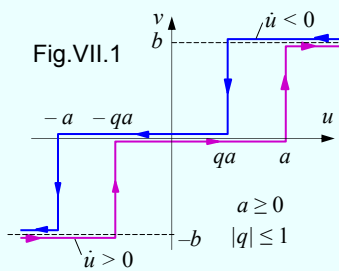
Partea imaginară, conform teoremei 1:

$$N_I(A) = -\frac{S}{\pi A^2} = -\frac{2ab}{\pi A^2}(1 - q), \quad A \geq a.$$

M. Voicu, IA (VII)

C 13 (33)

7



4° Releul tripozițional cu histerezis: $|q| < 1, a > 0, b > 0,$

$$N(A) = \frac{2b}{\pi A} \left(\sqrt{1 - \frac{a^2}{A^2}} + \sqrt{1 - \frac{q^2 a^2}{A^2}} \right) - j \frac{2ab}{\pi A^2} (1 - q), \quad A \geq a;$$

$$N_i(A) = -\frac{1}{N(A)} = -\frac{\pi A^2}{4ab} \frac{\sqrt{\frac{A^2}{a^2} - q^2} + j(1 - q)}{\frac{A^2}{a^2} - q^2 + \sqrt{\left(\frac{A^2}{a^2} - 1\right)\left(\frac{A^2}{a^2} - q^2\right)}}, \quad A \geq a.$$

M. Voicu, IA (VII)

C 13 (33)

8

În primele trei cazuri se obțin (fig.VII.6):

1° Releul bipozițional (ideal): $q = 1, a = 0, b > 0,$

$$N(A) = \frac{4b}{\pi A}, \quad N_i(A) = -\frac{\pi A}{4b}, \quad A > 0.$$

2° Releul bipozițional cu histerzis: $q = -1, a > 0, b > 0,$

$$N(A) = \frac{4ab}{\pi A^2} \left(\sqrt{\frac{A^2}{a^2} - 1} - j \right), \quad N_i(A) = -\frac{\pi A^2}{4b} \left(\sqrt{\frac{A^2}{a^2} - 1} + j \right), \quad A \geq a.$$

3° Releul tripozițional (ideal): $q = 1, a > 0, b > 0,$

$$N(A) = \frac{4ab}{\pi A^2} \sqrt{\frac{A^2}{a^2} - 1}, \quad N_i(A) = -\frac{\pi A^2}{4b} \sqrt{\frac{A^2}{a^2} - 1}, \quad A > a.$$

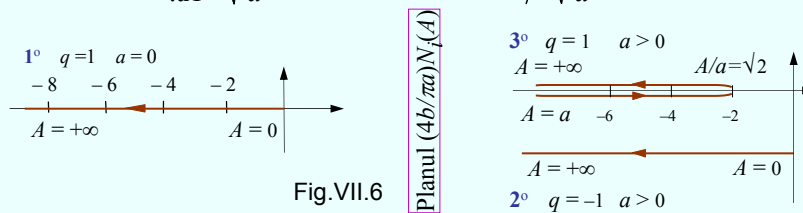


Fig.VII.6

M. Voicu, IA (VII)

C 13 (33)

9

b. Calculul aproximativ al funcției de descriere

Pt. f univalentă (\Rightarrow impară), A_1 din se calculează cu:

$$A_1 = \frac{2}{\pi} \int_{-\frac{\pi}{2}}^{\frac{\pi}{2}} f(A \sin \omega t) \sin \omega t d(\omega t).$$

Cu $x = \sin \omega t$, $dx = \cos \omega t d(\omega t)$ și $g(x) = x f(Ax)$ rezultă:

$$A_1 = \frac{2}{\pi} \int_{-1}^1 \frac{g(x)}{\sqrt{1-x^2}} dx \cong \frac{1}{3} \left[g(1) + 2g\left(\frac{1}{2}\right) + 2g\left(-\frac{1}{2}\right) + g(-1) \right],$$

$$A_1 \cong \frac{2}{3} \left[f(A) + f\left(\frac{A}{2}\right) \right].$$

Pt. f univalentă $\Rightarrow S = 0$ și $N_I(A) = 0$ se obține:

$$N(A) = N_R(A) = \frac{A_1}{A} \cong \frac{2}{3A} \left[f(A) + f\left(\frac{A}{2}\right) \right].$$

Exemplul 1.2

Releul bipoz. (ideal): $v = b \operatorname{sgn} u$. $N(A) \cong (2b/3A)(1+1) = 4b/3A$.

Aproximația este satisfăcătoare pt. $N(A) = 4b/(\pi A)$. ■

M. Voicu, IA (VII)

C 13 (33)

10

O formulă de inversiune: se dă $N(A)$ și se determină $f(u)$.
Amplitudinea lui u ia valorile $A, A/2, A/2^2, \dots, A/2^n, \dots$

Cf. $N(A) \cong \frac{2}{3A} [f(A) + f(\frac{A}{2})]$, se scriu egalitățile:

$3AN(A)/2$	≅	$f(A)$	$+ f(A/2)$
$-3AN(A/2)/2^2$	≅	$-f(A/2)$	$-f(A/2^2)$
$3AN(A/2^2)/2^3$	≅	$f(A/2^2)$	$+f(A/2^3)$
.....	≅
$(-1)^n 3AN(A/2^n)/2^{n+1}$	≅	$(-1)^n f(A/2^n)$	$+ (-1)^n f(A/2^{n+1})$

Se sumează!

$$f(A) \cong \sum_{n=0}^{\infty} (-1)^n \frac{3A}{2^{n+1}} N\left(\frac{A}{2^n}\right), \quad (1.21)$$

deoarece se reduc termeni și pt. $n \rightarrow \infty$, $f(A/2^{n+1}) \rightarrow 0$.

(1.21) – foarte utilă în sinteza sistemelor automate neliniare.
M. Voicu, IA (VII) C 13 (33) 11

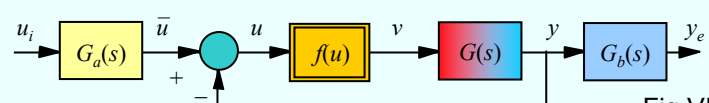
c. Schema bloc structurală

Analogia dintre **răspunsul la frecvență** și **funcția de descriere** permite tratarea SA neliniare similar cu cele liniare.

Pt. el. lin. se aplică identit. de transfig. a schemelor bloc struct., dar astfel ca intrările el. nelin. să rămână neschimbate.

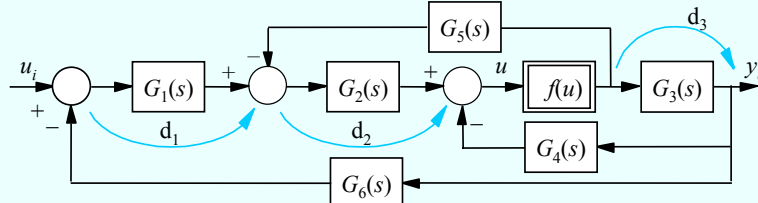
Pt. SA cu o singură nelin. forma cea mai simplă este **schema bloc structurală tipică**, fig.VII.7.

Se constituie el. lin. $G(s)$ imediat după cel neliniar, fiind posibilă verificarea ipotezei 4° de la punctul a.

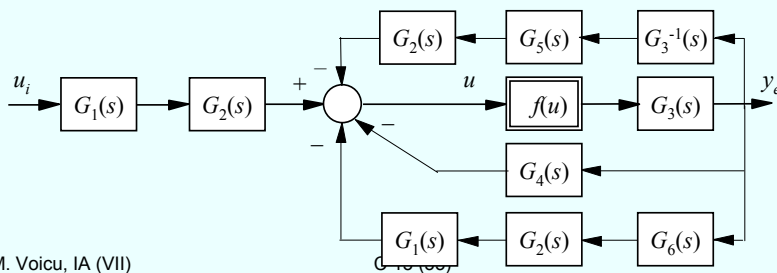


Exemplul 1.5

Pt. schema din fig.VII.8 să se obțină sch. bloc struct. tipică.



Se realizează deplasările d_1 , d_2 și d_3 și se ajunge la:



M. Voicu, IA (VII)

13

Se notează

$$G_7 = G_4 + G_2G_5 / G_3 + G_1G_2G_6$$

și se ajunge la fig.VII.9

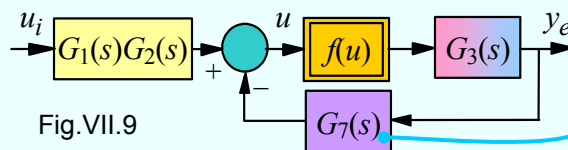


Fig.VII.9

Deplasând G_7 de pe c. de reacție pe c. directă, fig.VII.7,

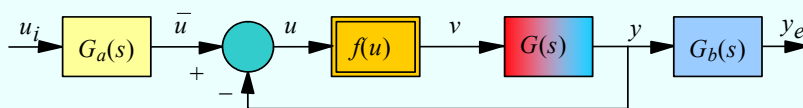


Fig.VII.7

în care

$$G_a = G_1G_2, \quad G = G_2G_5 + G_3G_4 + G_1G_2G_3G_6 \quad \text{și} \quad G_b = G_7^{-1}. \quad \blacksquare$$

M. Voicu, IA (VII)

C 13 (33)

14

d. *Punct de echilibru*

Conform fig.VII.7, se consideră SA neliniar:

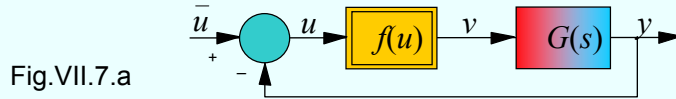


Fig.VII.7.a

descrie de următoarele ecuații:

$$\begin{cases} Y(s) = G(s)V(s) \\ v = f(u) \\ u = \bar{u} - y. \end{cases}$$

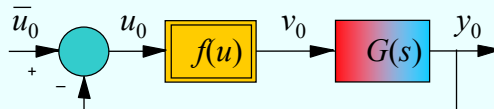
Se admit următoarele ipoteze:

- 1° $G(s)$ are cel mult un pol pe axa imag., restul în $\{\text{Re } s < 0\}$.
- 2° Polinoamele din $G(s)$ sunt relativ prime.
- 3° $G(s)$ conține, eventual, și un element cu timp mort.
- 4° $f(u)$ satisface ipotezele admise la definiția f. de descriere.

Regimul staționar, cf. fig.VII.7.a, este posibil pentru:

$$\bar{u} = \bar{u}_0 = \text{const.}, \Rightarrow u = u_0 = \text{const.}, v = v_0 = \text{const.}, y = y_0 = \text{const.}$$

iar în fig.VII.7.a avem:



Cvadruplul \bar{u}_0, u_0, v_0, y_0

definește un **punct de funcționare** conform ecuațiilor:

$$\begin{cases} y_0 = G(p)v_0 \\ v_0 = f(u_0) \\ u_0 = \bar{u}_0 - y_0. \end{cases} \quad (1.22)$$

în care $p = d/dt$ este operatorul de derivare introdus prin înlocuirea formală a variabilei s în $G(s)$.

Pentru **punctul de funcționare** \bar{u}_0, u_0, v_0, y_0 cu

$$y_0 = G(p)v_0, \quad G(p) = \frac{b_m p^m + b_{m-1} p^{m-1} + \dots + b_0}{a_n p^n + a_{n-1} p^{n-1} + \dots + a_0}, \quad (1.22.1) \quad (1.23)$$

are loc:
$$a_n p^n y_0 + a_{n-1} p^{n-1} y_0 + \dots + a_0 y_0 = b_m p^m v_0 + b_{m-1} p^{m-1} v_0 + \dots + b_0 v_0,$$

în care
$$\begin{cases} p^m v_0 = p^{m-1} v_0 = \dots = p v_0 = 0 \\ p^n y_0 = p^{n-1} y_0 = \dots = p y_0 = 0. \end{cases} \quad (1.24)$$

Prin urmare \bar{u}_0, u_0, v_0, y_0 este un **punct de echilibru**, Cf. (1.24), toate vitezele sunt nule, ceea ce corespunde semnificației conceptului de echilibru cunoscut din fizică.

Totodată
$$a_0 y_0 = b_0 v_0.$$

M. Voicu, IA (VII)

C 13 (33)

17

Pentru **punctul de echilibru** (PE) \bar{u}_0, u_0, v_0, y_0

din (1.22) - (1.24) rezultă :

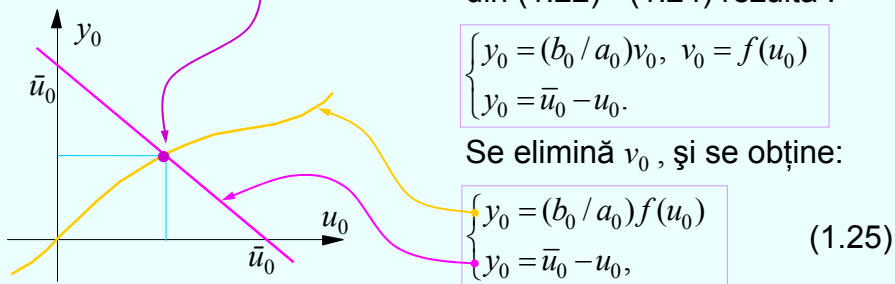


Fig.VII.10

graficele fiind date în fig.VII.10.

Pt. micile abateri $\Delta u, \Delta v, \Delta y$ în jurul valorilor u_0, v_0, y_0 , cf. (1.22):

$$\begin{cases} y_0 + \Delta y = G(p)(v_0 + \Delta v) \\ v_0 + \Delta v = f(u_0 + \Delta u) \\ u_0 + \Delta u = \bar{u}_0 - (y_0 + \Delta y). \end{cases} \quad (1.26) \quad \text{Se notează} \quad \Delta f(\Delta u) = f(u_0 + \Delta u) - f(u_0). \quad (1.28)$$

M. Voicu, IA (VII)

C 13 (33)

18

$$\begin{cases}
 \square & \square & \left\{ \begin{array}{l} y_0 + \Delta y = G(p)v_0 + G(p)\Delta v \\ v_0 + \Delta v = f(u_0 + \Delta u) - f(u_0) \\ u_0 + \Delta u = \bar{u}_0 - y_0 - \Delta y. \end{array} \right. & \left\{ \begin{array}{l} y_0 = G(p)v_0 \\ v_0 = f(u_0) \\ u_0 = \bar{u}_0 - y_0 \end{array} \right. & (1.22)
 \end{cases}$$

$$\Delta f(\Delta u) = f(u_0 + \Delta u) - f(u_0). \quad (1.28)$$

Cf (1.22), (1.28), din (1.26) rezultă:

$$\begin{cases}
 \Delta y = G(p)\Delta v \\
 \Delta v = \Delta f(\Delta u) \\
 \Delta u = -\Delta y.
 \end{cases}$$

(1.27)

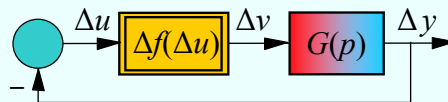
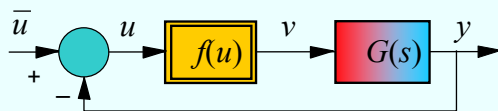


Fig.VII.11

Fig.VII.11 - **schema bloc structurală standard** pentru PE:

$$(\bar{u}_0, u_0, v_0, y_0).$$

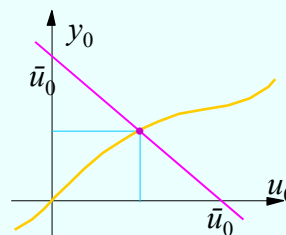
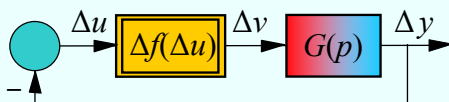
SAN tipic (fig.VII.7.a) \uparrow SAN standard (fig.VII.11)



$$\begin{cases}
 Y(s) = G(s)V(s) \\
 v = f(u) \\
 u = \bar{u} - y.
 \end{cases}$$

Din **schema bloc structurală tipică**, Fig.VII.7.a,

$$\text{pt. PE: } \bar{u}_0, u_0, v_0, y_0 \quad \begin{cases} y_0 = G(p)v_0 \\ v_0 = f(u_0) \\ u_0 = \bar{u}_0 - y_0. \end{cases}$$



rezultă **schema bloc structurală standard**, Fig.VII.11,

cu PE: $\Delta y = 0, \Delta v = 0, \Delta u = 0$.

$$\begin{cases}
 \Delta y = G(p)\Delta v \\
 \Delta v = \Delta f(\Delta u) \\
 \Delta u = -\Delta y.
 \end{cases}$$

e. Ecuația balanței armonice

SAN standard cf. fig. VII.11,

descrie de ecuațiile:

$$\begin{cases} \Delta y = G(p)\Delta v \\ \Delta v = \Delta f(\Delta u) \\ \Delta u = -\Delta y. \end{cases} \quad (1.27)$$

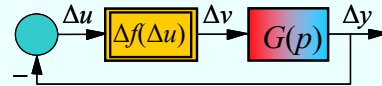


Fig.VII.11

pentru \bar{u}_0 fixat, are PE unic $\Delta y = \Delta v = \Delta u = 0$.

(1.27) poate avea soluții periodice (oscil. întrețin.) în jurul PE.

Dacă există oscil. întrețin., atunci, datorită lui $G(s)$ (FTJ),

la intrarea el. nelinier preponderentă este fundamentală:

$$\Delta u_1(t) = A \sin \omega t, \quad t \in \mathbf{R}; \quad A > 0, \quad \omega > 0. \quad (1.29)$$

În complex, pe fundamentale, se scriu relațiile:

$$\Delta u_1(t) = \text{Im} \Delta U_1(A, j\omega), \quad \Delta v_1(t) = \text{Im} \Delta V_1(A, j\omega), \quad \Delta y_1(t) = \text{Im} \Delta Y_1(A, j\omega).$$

Se trec în complex, pe fundamentale, ec. SAN standard:

$$\begin{cases} \Delta y = G(p)\Delta v \\ \Delta v = \Delta f(\Delta u) \\ \Delta u = -\Delta y. \end{cases} \quad (1.27)$$

Rezultă:

$$\begin{aligned} \Delta Y_1(A, j\omega) &= G(j\omega)\Delta V_1(A, j\omega) \\ \Delta V_1(A, j\omega) &= N(A)\Delta U_1(A, j\omega) \\ \Delta U_1(A, j\omega) &= -\Delta Y_1(A, j\omega), \end{aligned} \quad (1.30)$$

în care $G(j\omega)$ este răspunsul la frecvență al el. liniar $G(p)$

și $N(A)$ este funcția de descriere a neliniarității $\Delta v = \Delta f(\Delta u)$.

Din ecuațiile

$$\begin{aligned}\Delta Y_1(A, j\omega) &= G(j\omega)\Delta V_1(A, j\omega) \\ \Delta V_1(A, j\omega) &= N(A)\Delta U_1(A, j\omega) \\ \Delta U_1(A, j\omega) &= -\Delta Y_1(A, j\omega).\end{aligned}\tag{1.30}$$

se elimină $\Delta V_1(A, j\omega)$ și $\Delta Y_1(A, j\omega)$ și se obține:

$$[N(A)G(j\omega)+1]\Delta U_1(A, j\omega) = 0.\tag{1.31}$$

Întrucât $U_1(A, j\omega) = Ae^{j\omega t} \neq 0$, din (1.31) rezultă:

$$N(A)G(j\omega)+1=0, A>0, \omega>0.\tag{1.32}$$

(1.32) este **ecuația caracteristică** (analog cu cazul liniar) a SAN standard, numită și **ecuația balanței armonice**.

M. Voicu, IA (VII)

C 13 (33)

23

$$N(A)G(j\omega)+1=0, A>0, \omega>0.\tag{1.32}$$

Regula 1

Dacă în SAN standard există oscilații întreținute, approximate prin fundamentale, atunci amplitudinea A și pulsația ω din $\Delta u_1(t) = A\sin\omega t$ satisfac ecuația balanței armonice (1.32). ■

Ec. complexă (1.32) este echivalentă cu fiecare din ecuațiile:

$$\begin{aligned}N(A) &= -G^{-1}(j\omega), A > 0, \omega > 0, \\ N_R(A) + jN_I(A) &= -\operatorname{Re}G^{-1}(j\omega) - j\operatorname{Im}G^{-1}(j\omega), A > 0, \omega > 0.\end{aligned}$$

Ecuația complexă (1.32) este echivalentă cu ecuațiile reale:

$$\begin{cases} N_R(A) = -\operatorname{Re}G^{-1}(j\omega) \\ N_I(A) = -\operatorname{Im}G^{-1}(j\omega). \end{cases}\tag{1.33}$$

M. Voicu, IA (VII)

C 13 (33)

24

Pentru neliniaritățile univalente $N_i(A) \equiv 0$; (1.33) devine:

$$\begin{cases} N(A) = -\operatorname{Re}G^{-1}(j\omega) \\ \operatorname{Im}G^{-1}(j\omega) = 0 \quad (\operatorname{Im}G(j\omega) = 0). \end{cases} \quad (1.34)$$

Dacă $N(A)$, $G(j\omega)$ au forme complicate, pt. rezolv. ec. (1.32) se utilizează și procedee grafice. (1.32) se scrie sub forma:

$$G(j\omega) = N_i(A), \quad (1.35)$$

$N_i(A)$ fiind funcț. de descr. inv. neg.

Procedeeul celor două locuri

Se trasează $G(j\omega)$, $\omega \geq 0$, și $N_i(A)$, $A \geq 0$.

În fig.VII.12, intersecțiile corespund oscilațiilor întreținute din SAN.

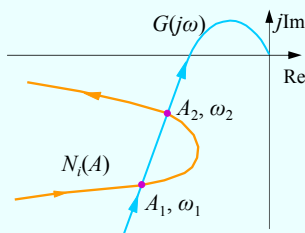


Fig.VII.12

M. Voicu, IA (VII)

C 13 (33)

25

Exemplul 1.6

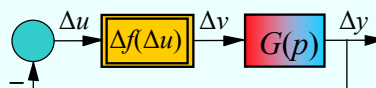


Fig.VII.11

Se consideră SAN cf. fig.VII.11 cu releu bipozițional ideal:

$$\Delta f(\Delta u) = b \operatorname{sgn} \Delta u, \quad \operatorname{sgn} 0 = 0,$$

și partea liniară

$$G(s) = \frac{1}{s^3 + a_1 s^2 + a_2 s + a_3}, \quad a_{1,2} > 0, a_3 \geq 0.$$

Să se studieze oscilațiile întreținute (dacă există).

SAN are punctul de echilibru: $\Delta y = \Delta v = \Delta u = 0$.

$N(A)$ la ex. 1.1 (1°) și $N_i(A)$ cf. fig.VII.6 (1°):

$$1^\circ N(A) = \frac{4b}{\pi A}, \quad N_i(A) = -\frac{\pi A}{4b}, \quad A > 0.$$

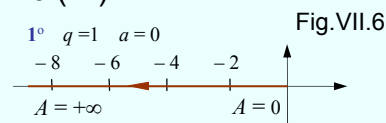


Fig.VII.6

M. Voicu, IA (VII)

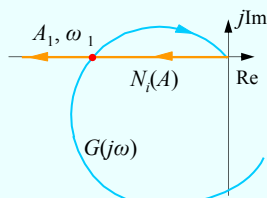
C 13 (33)

26

Cu procedeul celor două locuri – fig.VII.13,

☞ există o singură osc. întreținută cf. cu

Fig.VII.13



$$\begin{cases} N(A) = -\text{Re}G^{-1}(j\omega) \\ \text{Im}G^{-1}(j\omega) = 0. \end{cases} \quad (1.34)$$

rezultă

$$\begin{cases} 4b/(\pi A) = -\text{Re}(-j\omega^3 - a_1\omega^2 + ja_2\omega + a_3) \\ \text{Im}(-j\omega^3 - a_1\omega^2 + ja_2\omega + a_3) = 0, \end{cases}$$

$$\omega_1 = \sqrt{a_2}, \quad A_1 = 4b / [\pi(a_1a_2 - a_3)]; \quad \text{din } A_1 > 0 \quad \Leftrightarrow \quad a_1a_2 - a_3 > 0.$$

Dacă $a_3 > 0$, atunci este necesar ca $G(s)$ să fie BIBO-stabilă:

cf. c. Hurwitz $a_1a_2 - a_3 > 0$.

Oscil. într.: $\Delta u_1(t) = 4b / [\pi(a_1a_2 - a_3)] \sin\sqrt{a_2} t$. ■

1.2. Stabilitatea oscilațiilor întreținute

Oscilațiile întreținute pot fi: **stabile, instabile și semistabile**.

Natura osc. întreț. și cea a PE $\Delta y = \Delta v = \Delta u = 0$ sunt corelate.

a. Oscilații limită

Se admite că în SA nelin. (fig.VII.11) există osc. întreț. și că are loc perturbarea ($\uparrow\downarrow$), de scurtă durată, a amplit.

Cf. evoluției în timp, după perturbare, se disting trei cazuri.

Definiția 2

Osc. întreținută se numește **limită stabilă** dacă după perturbarea amplit. (suf. de mică $\uparrow\downarrow$), de scurtă durată, urmează revenirea, în timp, la osc. întreținută precedentă. ■

Definiția 3

Osc. întreținută se numește **limită instabilă** dacă după Perturb. amplit. (oricât de mică $\uparrow\downarrow$), de scurtă durată, urmează îndepărtarea, în timp, de osc. întrețin. precedentă. ■

Definiția 4

Osc. întreținută se numește **limită semistabilă** [**stabilă / instabilă la stânga și instabilă / stabilă la dreapta**], dacă după perturb. amplit., în sensul scăderii suf./oricât de mici și al creșterii oricât/suf. de mici, de scurtă durată, urmează rev./îndep. și îndep./rev. la/de și de/la osc. întreținută precedentă. ■

M. Voicu, IA (VII)

C 13 (33)

29

b. Regula lui Loeb

O oscilație întreținută

$$u_1(t) = A_0 \sin \omega_0 t, \quad A_0 > 0, \quad \omega_0 > 0,$$

oricare ar fi natura ei, este sol. a ec. balanței armonice

$$N(A_0)G(j\omega_0) + 1 = 0.$$

O perturbare a ei, la $t = 0$, are ca efect variațiile

$$A_0 \rightarrow A_0 + \Delta A, \quad \omega_0 \rightarrow \omega_0 + \Delta \omega,$$

$$u_1(t) \rightarrow u_1(t) + \Delta u_1(t) = (A_0 + \Delta A) e^{-\zeta t} \sin(\omega_0 + \Delta \omega)t$$

cu amortizarea ζ , variabilă, pozitivă sau negativă, după caz.

Osc. întreținută este limită stabilă dacă: $\Delta A \zeta > 0$

și este limită instabilă dacă: $\Delta A \zeta < 0$.

M. Voicu, IA (VII)

C 13 (33)

30

Se notează:

$$N_{iR}(A) = \operatorname{Re} N_i(A), \quad N_{iI}(A) = \operatorname{Im} N_i(A),$$

$$G_R(\omega) = \operatorname{Re} G(j\omega), \quad G_I(\omega) = \operatorname{Im} G(j\omega).$$

$$S_0 = \left(\frac{dG_R}{d\omega} \right)_{\omega_0} \left(\frac{dN_{iI}}{dA} \right)_{A_0} - \left(\frac{dG_I}{d\omega} \right)_{\omega_0} \left(\frac{dN_{iR}}{dA} \right)_{A_0}.$$

Regula 2 (Loeb)

Osc. întreținută caracterizată de (A_0, ω_0) , soluție a ecuației:

$$N(A_0)G(j\omega_0) + 1 = 0,$$

- este:
- limită stabilă dacă $S_0 > 0$;
 - limită instabilă dacă $S_0 < 0$;
 - limită semistabilă dacă $S_0 = 0$. ■

Pt. evitarea calculelor pentru S_0 se definesc vectorii:

$$\bar{v}_G = \left(\frac{dG_R}{d\omega} \right)_{\omega_0} \bar{i} + \left(\frac{dG_I}{d\omega} \right)_{\omega_0} \bar{j}, \quad \bar{v}_N = \left(\frac{dN_{iR}}{dA} \right)_{A_0} \bar{i} + \left(\frac{dN_{iI}}{dA} \right)_{A_0} \bar{j},$$

tangenți respectiv la hodogr. $G(j\omega)$ și $N_i(A)$ în p. de intersecție.

Produsul lor vectorial este:

$$\bar{v}_G \times \bar{v}_N = \begin{vmatrix} \bar{i} & \bar{j} & \bar{k} \\ \left(\frac{dG_R}{d\omega} \right)_{\omega_0} & \left(\frac{dG_I}{d\omega} \right)_{\omega_0} & 0 \\ \left(\frac{dN_{iR}}{dA} \right)_{A_0} & \left(\frac{dN_{iI}}{dA} \right)_{A_0} & 0 \end{vmatrix} = S_0 \bar{k}.$$

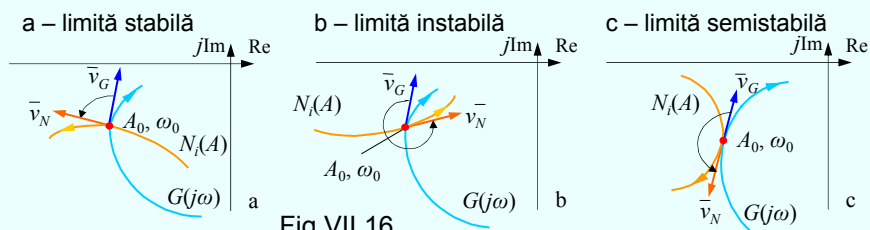
($\bar{i}, \bar{j}, \bar{k}$ – versorii sp. tridim.)

Sensul poz. al vect. produs se obține atunci când unghiul dintre \bar{v}_G, \bar{v}_N , în sens pozitiv, este între 0 și π .

Regula 3 (Loeb)

Osc. întreținută (A_0, ω_0), soluție a ecuației (1.32), este:

- **limită stabilă** dacă pornind din p. de intersecție pe $G(j\omega)$ pt. $\omega \uparrow, N_i(A)$ pt. $A \uparrow$ rămâne la stânga – fig.VII.16.a;
- **limită instabilă** dacă pornind din p. de intersecție pe $G(j\omega)$ pt. $\omega \uparrow, N_i(A)$ pt. $A \uparrow$ rămâne la dreapta – fig.VII.16.b;
- **limită semistabilă** dacă $G(j\omega), N_i(A)$ sunt tang. – fig.VII.16.c. ■



M. Voicu, IA (VII)

C 13 (33)

33